

## γ線検出器系に与える振動の影響について

恵花 孝昭 木原 敏博 佐藤 伸穂 大内 格之  
菊地由生子

### 要 旨

γ線検出器系のプリアンプは大きな振動や騒音の影響を受けて、エネルギーピークの半値幅（以下、半値幅と略す）が増加する原因となることが報告されている。

半値幅の増加は、放射能濃度の測定に誤差を与えるので、振動や騒音源のある場所にγ線検出器系を設置した場合、これらの影響について検討をおこなう必要がある。このため、3種の標準線源 ( $^{57}\text{Co}$ ,  $^{60}\text{Co}$ ,  $^{137}\text{Cs}$ ) を用いて、各核種の半値幅を測定することによって、γ線検出器系に与える影響を調べた。その結果、半値幅に増加は認められず、当所の振動レベルでは、影響のないことが確認された。

### 1. 緒 言

1989年8月より、ヨーロッパ産の輸入食品を中心にGe半導体型核種分析装置を用いて、放射能濃度の測定を開始した。使用している装置は、γ線検出器系、ADコンバータ・マルチチャンネルアナライザなどの信号処理系およびデータ処理系から構成されている。

γ線検出器系はGe半導体検出器、プリアンプおよびハイポルティジフィルタからなり、γ線がGe半導体検出器に入射すると、主に光電効果によってγ線のエネルギーに比例した微少なパルス電流が生じる。さらに、電界効果トランジスタ（以下、FETと略す）を使用したプリアンプでパルス電流を增幅している。

しかし、FETは大きな振動、衝撃や騒音によって、FETのゲート電極付近の容量が変化して、マイクロホニックノイズ<sup>1), 2)</sup>が生じ、ゴーストピークの発生や半値幅の増加などの現象が現われる。

E. J. Dumas<sup>3)</sup>らによると、γ線検出器系の上端部に周波数3742Hz、騒音レベル90dBの音源を用いて、 $^{57}\text{Co}$ の122KeV、 $^{60}\text{Co}$ の1.33MeVの各エネル

ギーの半値幅を測定した。その結果、半値幅の増加が認められたと報告している。

当所の核種分析装置を設置してある機器室には、他の分析機器やエーコンプレッサなどもあるので、振動レベルおよび半値幅を測定して、エーコンプレッサの作動時の振動や騒音がγ線検出器系に与える影響を調べた。

### 2. 方 法

#### 2-1 振動レベルの測定法

振動レベル計を用いて、γ線検出器系の上端部と床面の2カ所を測定点とし、各定点におけるx軸、y軸およびz軸の3方向で振動レベルを測定した。

#### 2-2 使用機器

振動レベル計<sup>4)</sup>: VM-123 リオン製  
レベルレコーダ: LR-04 リオン製

#### 2-3 半値幅の測定法

標準線源の $^{57}\text{Co}$ ,  $^{60}\text{Co}$ および $^{137}\text{Cs}$ を用いて、各核種の半値幅を測定した。なお、測定時間と測定数はエーコンプレッサの発熱などを考慮して、測定時間を600秒および測定数を2回程度に設定した。

## 2-4 使用機器

Ge 半導体検出器 : GEM-25185 ORTEC 製

マルチチャンネルアナライザ・MODEL-7800

SEIKO EG & G 製

データ処理装置 : PC-9801RX2 NEC 製

## 2-5 位置関係

$\gamma$  線検出器系とエアーコンプレッサの距離は約 4m である。

## 3. 結果及び考察

### 3-1 振動レベルについて

エアーコンプレッサの作動時、停止時における、 $\gamma$  線検出器系の上端部と床面の振動レベルの平均値を表 1 に示した。

表 1  $\gamma$  線検出器系上端部および床面の振動レベルについて  
単位 dB

項目	検出器上端部			床面		
	x 軸	y 軸	z 軸	x 軸	y 軸	z 軸
エアーコンプレッサ作動時	32	25	37	18	20	33
エアーコンプレッサ停止時	32	26	37	18	20	31

x 軸方向 : 装置に対して横方向

y 軸方向 : 装置に対して奥行き方向

z 軸方向 : 装置に対して高さ方向

作動時、停止時の振動レベルの平均値の差は、 $\gamma$  線検出器系の上端部と床面とも認められず、振動源としてのエアーコンプレッサの影響はないと考えられる。

また、2 点とも、振動レベルは z 軸方向が x 軸方向より約 5dB、y 軸方向より約 12dB 高い値を示した。

さらに、 $\gamma$  線検出器系の上端部の振動レベルが床面より、3 方向で 5-14dB 高いことが分かった。これは、 $\gamma$  線検出器系とクライオスタット (cryostat) の部分がデュワービンのシリコン栓を支点としたトップヘビーの状態になる構造が原因と思われる。その構造を図 1 に示した。

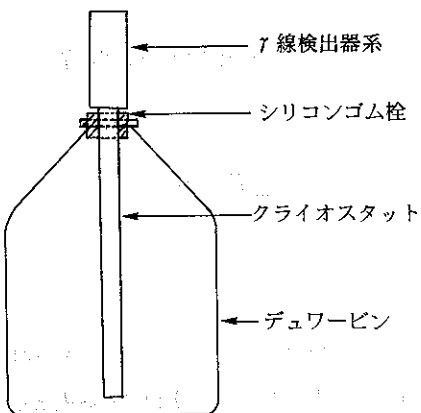


図 1  $\gamma$  線検出器系とクライオスタット周辺部の断面図

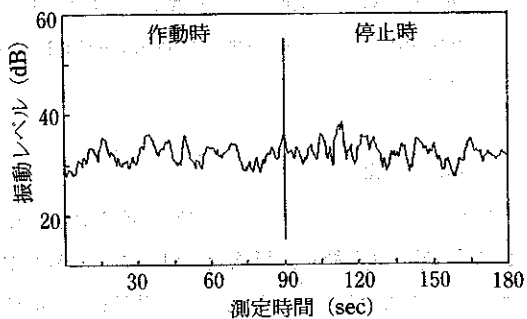


図 2 検出器上端部の x 軸方向の振動レベルの変化について

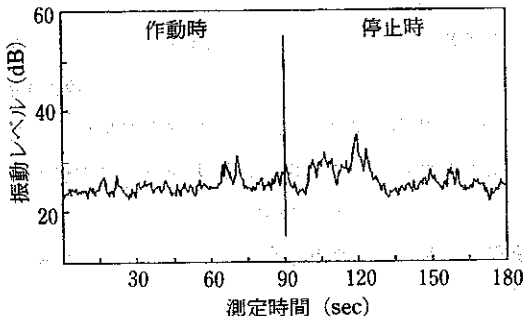


図 3 検出器上端部の y 軸方向の振動レベルの変化について

図 2-図 4 に  $\gamma$  線検出器系の上端部における 3 方向の振動レベルの時間的変化を示した。振動レベルの時間的変化は、3 方向ともパターンが不規則に変化し、x 軸方向の振動レベルの変化が大きいことが

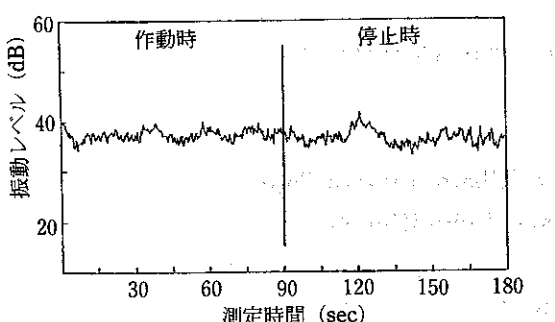


図4 検出器上端部のz軸方向の振動レベルの変化について

分かった。さらに、エアーコンプレッサが停止中にも関わらず、図3の120秒前後には作動時より、大きなレベル変化が観られ、レベル差は5-7dB程度であった。これは、他に振動源があることを示していると思われる。

### 3-2 半値幅について

エアーコンプレッサの作動時、停止時における各核種の半値幅の変化を表2に示した。

各核種とも作動時の半値幅は、停止時の半値幅の標準偏差内にあり、半値幅の増加は認められなかった。

表2 エアーコンプレッサの作動時、停止時における各核種の半値幅の変化について 単位 KeV

測定数	<sup>57</sup> Co		<sup>137</sup> Cs		<sup>60</sup> Co	
	作動時	停止時	作動時	停止時	作動時	停止時
No. 1	0.995	0.995	1.37	1.40	1.85	1.78
No. 2	-	0.980	1.36	1.38	1.85	1.90
No. 3	-	0.985	-	1.41	-	1.81
No. 4	-	0.965	-	1.38	-	1.84
No. 5	-	1.005	-	1.36	-	1.84
平均 値	0.995	0.986	1.37	1.39	1.85	1.83
標準偏差	-	0.015	-	0.019	-	0.044

エネルギーピーク：

<sup>57</sup>Co 122 1KeV    <sup>137</sup>Cs 661 6KeV

<sup>60</sup>Co 1332 5KeV

測定時間 600秒

このように振動レベル、半値幅の測定結果からは、機器室内の環境では、振動によってFETから生じるマイクロホニックノイズの影響は認められなかつた。また、作動時間が間欠的なため、特に、防振対策の必要性がないと考える。

### 4. 結語

エアーコンプレッサの作動時の $\gamma$ 線検出器系の振動レベルは、3方向で各々の平均値は25-37dB程度であり、x軸方向では振動レベルの変化が大きく、z軸方向は振動レベルの平均値が高かった。さらに、 $\gamma$ 線検出器系の上端部が床面より、振動レベルが高いことなどが分かった。

また、半値幅の測定結果では、振動によるマイクロフォニックの $\gamma$ 線検出器系への影響は、認められず、特に、防振対策の必要性はないものと考える。

最後に、振動レベルの測定に協力して頂いた環境管理部水質騒音課騒音係の皆様に深謝致します。

### 5. 文献

- 1) Solid-State Photon Detector Operator's Manual, 21, EG & G ORTEC
- 2) Brophy, J. J.: BASIC ELECTRONICS FOR SCIENTISTS (Second Edition), 287, McGraw-Hill, 1972.
- 3) Dumas, E. J. and Martin, G. N.: A publication for EG & G ORTEC, 1989.
- 4) JISハンドブック 公告編, 1055-1057, 日本規格協会, 1986.

# Effect of Vibration on a $\gamma$ -ray Detector System

Takaaki Ebana, Satohiro Kihara, Minoru Sato,  
Kakuyuki Ouchi and Yuko Kikuchi

## ABSTRACT

A  $\gamma$ -ray detector system consists of detector, preamplifier and high voltage filter. When the detector system is subjected to excessive vibration, mechanical shock or loud noise,  $\gamma$ -ray spectrum peak width is spread or ghost peak appears as an effect.

Given the condition that a given  $\gamma$ -ray detector system is placed near a noisy machine in a room, it cannot avoid being subjected to vibration and loud noise. We examined the effect such vibration and noise had on the detector. This result was that, in the condition of this room, the vibration and noise didn't effect full width at half maximum (FWHM) of peak.